

На рисунке 4 приведены результаты расчета частоты срыва вихрей при разных скоростях движения легкового автомобиля. Эти частоты в зависимости от скорости движения меняются от 2 до 5 Гц. Результаты расчета инфразвукового давления для легкового автомобиля на частоте срыва вихря показали, что в диапазоне скоростей от 60 до 120 км/ч его уровень меняется с 86 дБ до 95 дБ, что совпадает с экспериментальными измерениями внешнего инфразвука легкового автомобиля и транспортного потока (см. рис.1, 2, 3).

Таким образом, полученные экспериментальные и расчетные данные позволяют сделать вывод, что механизм возникновения инфразвука автомобиля обусловлен набегающим потоком воздуха. Предложенный подход может быть использован для прогнозирования и определения внешнего инфразвука других транспортных средств в дозвуковом диапазоне частот (скоростные поезда, катера на подводных крыльях и др.).

Литература

1. Нюнин Б.Н., Графкина М.В. К вопросу исследования тонкой структуры инфразвукового и электромагнитного полей автомобиля //Известия МГТУ «МАМИ» №12, 2012.- С.180-184.
2. Графкина М.В., Нюнин Б.Н. Исследования электромагнитных и акустических полей автомобиля // Сборник статей 77-й международной научно-технической конференции ААИ, Секция 10. М.: МГТУ «МАМИ», 2012. с. 20-21.
3. Графкина М.В., Нюнин Б.Н., Свиридова Е.Ю., Теряева Е.П. Развитие системы экологического мониторинга электромагнитных и инфразвуковых низкочастотных полей на застроенных территориях [Электронный ресурс]. Систем. требования: Adobe Acrobat Reader. URL: www.unistroy.spb.ru. (дата обращения: 11.09.2013)

УДК 624.04:517.2

Вибронагруженность крупногабаритной транспортной системы при движении по дороге со случайными неровностями

д.т.н. проф. Гусев А.С., к.т.н. проф. Щербаков В.И., к.т.н. доц. Стародубцева С.А.,
Гребенкина М.И.

*МГТУ им. Н.Э. Баумана, Университет машиностроения,
8(499)-223-05-23, доб. 14-57; sopr@mami.ru*

Аннотация. Рассматривается комплекс вопросов, возникающих при оценке технической возможности и целесообразности транспортировки крупногабаритных и легкодеформируемых объектов по дорогам со случайными неровностями.

Ключевые слова: *вibration, транспортная система, деформации, напряжения, надежность.*

Необходимость оценки вибронагруженности крупногабаритных транспортных систем возникает в случаях перевозки больших неразборных объектов по дорогам со случайными неровностями. Практика свидетельствует, что при транспортировке кодеформируемых объектов может происходить существенная потеря их работоспособности [1-4].

Рассмотрим транспортную систему, показанную на рисунке 1. Транспортируемый длинномерный легкодеформируемый объект 2 опирается на седельный тягач 1, колёсную тележку 3 и движется в горизонтальном направлении по длине пути x с постоянной скоростью v_t , совершая вертикальные линейные и угловые колебания в продольной плоскости симметрии системы, т.е. принимается плоская динамическая модель. Колебания в продольной плоскости возникают от микронеровностей дороги $y(x)$ при предположении об одинаковом профиле левой и правой колеи дороги. Текущие значения микронеровностей под тягачем и тележкой обозначены через $y_1(x)$ и $y_2(x)$ соответственно, а кинематические воздействия на перевозимый объект - $f_n(t)$ и $f_k(t)$.

Для оценки риска транспортировки, а также обоснования её технической возможности и целесообразности необходимо решить следующие задачи:

- 1) сформировать матрицу спектральных плотностей внешних кинематических воздействий на транспортируемый объект по заданным характеристикам профиля дороги с учётом скорости движения и сглаживающих свойств шин колёс тягача и тележки;
- 2) рассчитать вынужденные случайные колебания объекта от действия кинематических воздействий со стороны опорных площадок тягача и тележки;
- 3) определить передаточные функции и амплитудно-частотные характеристики динамической системы;
- 4) вывести зависимости для расчёта статистических характеристик выходных процессов – дисперсии и среднеквадратических значений перемещений (прогибов), ускорений и напряжений объекта;
- 5) рассчитать накопленное усталостное повреждение объекта при транспортировке;
- 6) оценить риск транспортировки.

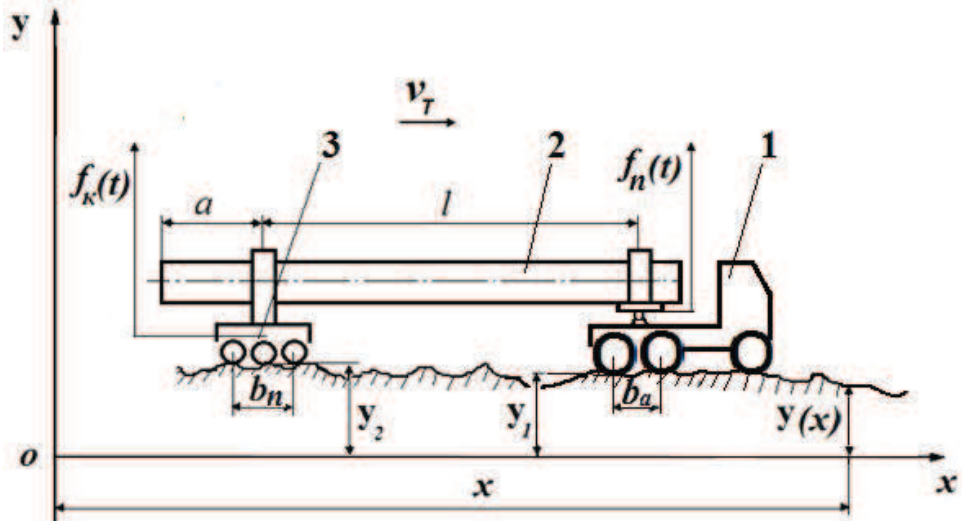


Рисунок 1 – Общий вид транспортной системы: 1 – тягач; 2 – транспортируемый объект; 3 – опорная тележка; a, l – размеры по длине объекта; b_a, b_n – длины колесных тележек

Колесные тележки сглаживают микропрофиль дороги и сохраняют с ним непрерывный контакт. Функция профиля дороги $y(x)$ задается спектральной плотностью $S_y(\vartheta)$, где ϑ – частота по пути x . Спектральная плотность сглаженного на длине тележки профиля дороги $S_{\hat{y}}(\vartheta)$ определяется по формуле [3]:

$$S_{\hat{y}}(\vartheta) = \frac{S_y(\vartheta)}{b^2 \vartheta^2 + 1},$$

где b – длина колесной тележки.

Далее профиль дороги считается сглаженным и знак сглаживания \wedge не указывается.

Для описания спектральной плотности исходного микропрофиля дорог может быть использована следующая зависимость:

$$S_y(\vartheta) = \frac{\pi^{-1} \cdot \alpha \cdot \beta^2 \cdot S_y^2}{(\vartheta^2 - \beta^2)^2 + 4 \cdot \alpha^2 \cdot \vartheta^2}, \quad \vartheta \in (-\infty, +\infty)$$

где параметры $\alpha = 0,1 \dots 0,2 \text{ м}^{-1}$; $\beta = 0,025 \dots 0,140 \text{ м}^{-1}$; среднеквадратическое отклонение $S_y = 0,10 \dots 0,20 \text{ м}$ [3].

Учет влияния скорости движения v_t на спектральную плотность кинематических воз-

Серия 1. Наземные транспортные средства, энергетические установки и двигатели.

действий в контакте колёс с дорогой производится по нижеследующим формулам с заменой частоты ϑ на ω / v_t [3]:

$$S_{f_n}(\omega, v_t) = S_{f_k}(\omega, v_t) = \frac{1}{v_t} \cdot S_y\left(\frac{\omega}{v_t}\right); S_{f_n f_k}(\omega, v_t) = S_{f_k f_n}^*(\omega, v_t) = \frac{1}{v_t} \cdot e^{i\omega l/v_t} \cdot S_y\left(\frac{\omega}{v_t}\right),$$

где: $\omega = \vartheta \cdot v_t$ циклическая частота воздействий во времени t ; $*$ – знак перехода к комплексно-сопряженным функциям; $S_{f_n f_k}(\dots)$ – взаимная спектральная плотность процессов $f_n(t)$ и $f_k(t)$.

Расчётную схему объекта транспортировки примем в виде балки со следующими распределенными параметрами (рисунок 2, а): μ – массой единицы длины, $EI_x = const$ – жёсткостью поперечного сечения на изгиб и b_c – коэффициентом вязкого демпфирования единицы длины. Для упрощения расчетов консольный свес может быть заменен сосредоточенной массой с моментом инерции J , как показано на рисунке 2, б. Через $v = v(z, t)$ обозначим прогиб поперечного сечения балки с текущей координатой z в момент времени t (рисунок 2, в). Тогда дифференциальное уравнение изгибных колебаний балки можно представить в виде [4, 6]:

$$\mu \cdot \frac{\partial^2 v}{\partial t^2} + b_c \cdot \frac{\partial v}{\partial t} + EI_x \cdot \frac{\partial^4 v}{\partial z^4} = \mu \cdot \ddot{f}(z, t), \quad (1)$$

где: $\ddot{f}(z, t) = \frac{z}{l} \cdot \ddot{f}_n(t) + \frac{l-z}{l} \cdot \ddot{f}_k(t)$, а начало отсчета для z принято на левом конце

балки. Две точки сверху параметра означают вторую производную по времени t .

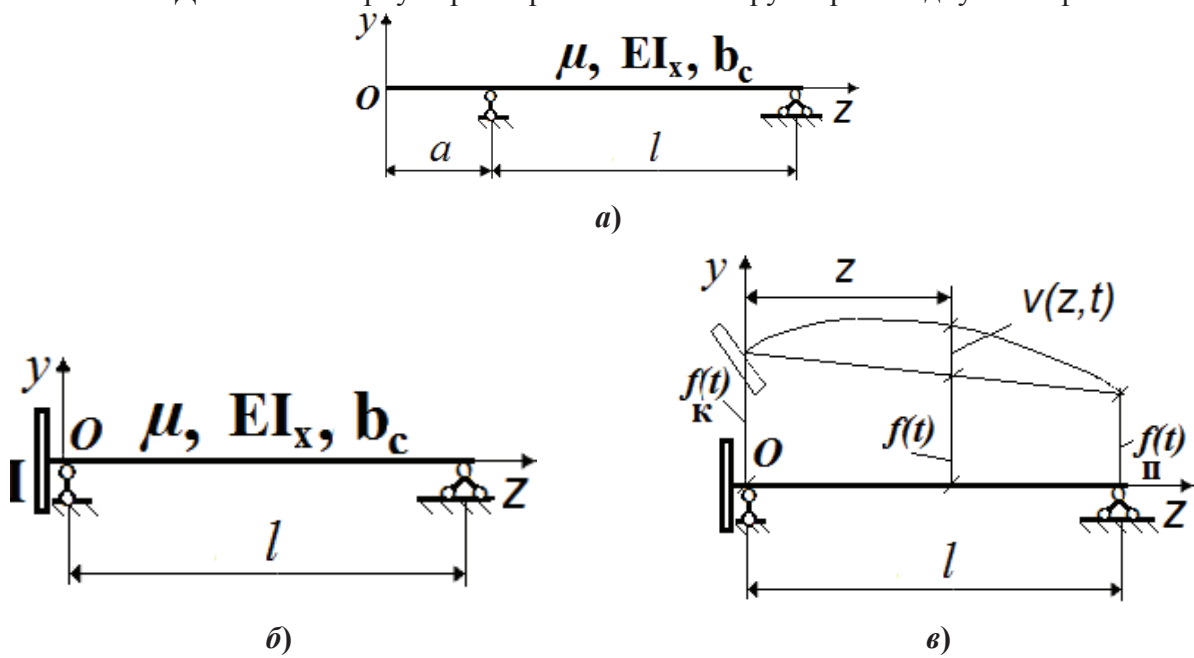


Рисунок 2. Балочная расчетная схема объекта транспортировки: а – с консолью и ей эквивалентная в ненагруженном состоянии; в – в возбужденном состоянии

Решение уравнения (1) ищем в виде разложения по собственным формам колебаний $\varphi_k(z)$:

$$v(z, t) = \sum_{k=1}^n u_k(t) \cdot \varphi_k(z), \quad (2)$$

где: n – число собственных форм колебаний, учитываемых в расчёте; $u_k(t)$ – функции

времени (главные координаты), подлежащие определению. На рисунке 2, в показана форма колебаний рассматриваемой балки, близкая к первой собственной форме.

Нормальные напряжения $\sigma(z, t)$ в поперечных сечениях балки будут определяться по формуле:

$$\sigma(z, t) = \frac{EI_x}{W_x} \cdot \sum_{k=1}^n u_k(t) \cdot \varphi_k''(z), \quad (3)$$

где W_x – момент сопротивления поперечного сечения балки изгибу.

Подставив (2) в (1), получим соотношение:

$$\sum_{k=1}^n \mu \cdot \ddot{u}_k(t) \cdot \varphi_k(z) + \sum_{k=1}^n b_c \cdot \dot{u}_k(t) \cdot \varphi_k(z) + EI_x \cdot \sum_{k=1}^n u_k(t) \cdot \varphi_k^{IY}(z) = \mu \cdot \ddot{f}(z, t), \quad (4)$$

скалярно умножив которое на $\varphi_i(z)$ и учитя ортогональность собственных форм колебаний, выражаемое уравнением:

$$(\varphi_i(z), \varphi_\gamma(z)) = \int_0^l \varphi_i(z) \cdot \varphi_\gamma(z) \cdot dz = 0, \text{ при } i \neq \gamma,$$

получим следующую систему независимых линейных дифференциальных уравнений второго порядка:

$$m_k \cdot \ddot{u}_k(t) + \beta_k \cdot \dot{u}_k(t) + \lambda_k \cdot u_k(t) = Q_k(t), \quad (k = 1, \dots, n), \quad (5)$$

где: $m_k = (\mu \cdot \varphi_k, \varphi_k)$ – обобщённая масса балки, соответствующая k -ой собственной форме колебаний;

$\beta_k = (b_c \cdot \varphi_k, \varphi_k)$ – обобщённый коэффициент вязкого демпфирования, соответствующий k -ой собственной форме колебаний;

$\lambda_k = EI_x \cdot (\varphi_k^{IY}, \varphi_k) = EI_x \cdot (\varphi_k'', \varphi_k)$ – обобщённая жёсткость, соответствующая k -ой собственной форме колебаний;

$Q_k(t) = (\mu \cdot \ddot{f}(z, t), \varphi_k)$ – обобщённая внешняя нагрузка, соответствующая k -ой собственной форме колебаний; запятой между функциями указано их скалярное произведение.

Уравнение (5) представим в виде:

$$\ddot{u}_k + 2n_k \cdot \dot{u}_k + \omega_{0k}^2 \cdot u_k(t) = q_k(t), \quad (6)$$

где: $2n_k = \frac{\beta_k}{m_k}$; $\omega_{0k}^2 = \frac{\lambda_k}{m_k}$; $q_k = \frac{Q_k}{m_k}$.

Тогда передаточная функция для реакции балки по k -ой координате равна:

$$H_k(i\omega) = \frac{1}{\omega_{0k}^2 - \omega^2 + 2n_k \cdot i\omega}. \quad (7)$$

Амплитудные спектры процессов $u_k(t)$ определяются по амплитудным спектрам процессов $q_k(t)$ по формуле:

$$\Phi_{u_k}(\omega) = H_k(i\omega) \cdot \Phi_{q_k}(\omega). \quad (8)$$

Поскольку амплитудные спектры случайных процессов дельта-коррелированы, то имеем следующие равенства [1]:

$$\begin{aligned} \langle \Phi_{u_i}(\omega_1) \cdot \Phi_{u_\gamma}^*(\omega_2) \rangle &= S_{u_i u_\gamma}(\omega_1) \cdot \delta(\omega_1 - \omega_2) = \langle H_i(i\omega_1) \cdot H_\gamma^*(i\omega_2) \cdot \\ &\cdot \Phi_{q_i}(\omega_1) \cdot \Phi_{q_\gamma}^*(\omega_2) \rangle = H_i(i\omega_1) \cdot H_\gamma^*(i\omega_2) \cdot S_{q_i q_\gamma}(\omega) \cdot \delta(\omega_1 - \omega_2), \end{aligned} \quad (9)$$

где: $\langle \cdots \rangle$ – оператор осреднения;

$S_{u_i u_\gamma}(\omega)$ – взаимная спектральная плотность процессов $u_i(t)$ и $u_\gamma(t)$;

$S_{q_i q_\gamma}(\omega)$ – взаимная спектральная плотность процессов $q_i(t)$ и $q_\gamma(t)$.

Из равенств (9) получим, что:

$$S_{u_i u_\gamma}(\omega) = H_i(i\omega) \cdot H_\gamma^*(i\omega) \cdot S_{q_i q_\gamma}(\omega); \quad S_{u_k}(\omega) = |H_k(i\omega)|^2 \cdot S_{q_k}(\omega).$$

Тогда из соотношения (2) следует, что спектральная плотность перемещений $v(z, t)$ будет определяться по формуле:

$$S_v(\omega, z) = \sum_{i=1}^n \sum_{\gamma=1}^n \varphi_i(z) \cdot \varphi_\gamma(z) \cdot S_{u_i u_\gamma}(\omega).$$

При учёте только первой собственной формы колебаний имеем:

$$S_v(\omega, z) = \varphi_1^2(z) \cdot S_{u_1}(\omega).$$

Спектральная плотность напряжений $\sigma(z, t)$ будет определяться по формуле:

$$S_\sigma(\omega, z) = \left(\frac{EI_x}{W_x} \right)^2 \cdot \left(\sum_{i=1}^n \sum_{\gamma=1}^n \varphi_i''(z) \cdot \varphi_\gamma''(z) \cdot S_{u_i u_\gamma}(\omega) \right).$$

При учёте только первой формы колебаний найдём:

$$S_\sigma(\omega, z) = \left(\frac{EI_x}{W_x} \cdot \varphi_1''(z) \right)^2 \cdot S_{u_1}(\omega).$$

Полученная вероятностная информация о перемещениях и напряжениях используется для оценки риска R транспортировки конструкции и для определения величины накопленного при транспортировке усталостного повреждения Φ . Под риском транспортировки понимается вероятность P превышения перемещениями опасного уровня Φ_* или напряжениями - опасного уровня σ_* за время движения t .

Эта вероятность определяется как:

$$R = P\{v(\tau) \geq v_*; \quad \sigma(\tau) \geq \sigma_*; \quad \tau \in (0, t)\} = t \cdot n_0 \cdot \left(\exp\left(-\frac{v_*^2}{2s_v^2}\right) + \exp\left(-\frac{\sigma_*^2}{2s_\sigma^2}\right) \right),$$

где n_0 – эффективная частота колебаний;

s_v^2, s_σ^2 – дисперсии перемещений и напряжений соответственно.

Тогда надёжность транспортной системы будет определяться как вероятность противоположного события, т.е. как:

$$H = P\{v(\tau) \leq v_*; \quad \sigma(\tau) \leq \sigma_*; \quad \tau \in (0, t)\} = 1 - R.$$

При вычислении величины накопленного усталостного повреждения полагаем, что уравнение кривой усталости задаётся в виде:

$$N = \begin{cases} N_0 \left(\frac{\sigma_{-1}}{\sigma} \right)^m, & \text{при } \sigma \geq \sigma_{-1}; \\ \infty, & \text{при } \sigma < \sigma_{-1}, \end{cases}$$

где N_0, σ_{-1}, m – параметры кривой усталости.

Усталостное повреждение Φ за время t составит величину, определяемую по формуле [2]:

$$\varphi(t) = \frac{2^{\frac{m}{2}} \cdot s_{\sigma}^m \cdot \Gamma\left(\left(\frac{m}{2} + 1\right), \frac{\sigma_{-1}^2}{2s_{\sigma}^2}\right)}{N_0 \cdot \sigma_{-1}^m} \cdot \frac{t}{t_0},$$

где: $\Gamma(..., ...)$ – неполная гамма-функция; \bar{t}_0 – средний период цикла нагружения.

Рассмотрим случай, когда длина консоли балки $a = 0$ (см. рисунок 2, а) и учитывается только первая форма колебаний

$$\varphi(z) = \sin\left(\frac{\pi \cdot z}{l}\right).$$

Получим:

$$m = \frac{\mu \cdot l}{2}; \omega_0 = \frac{\pi^2}{l^2} \sqrt{\frac{EI_x}{\mu}}; q_k = \frac{2}{\pi} (\ddot{f}_n + \ddot{f}_k); S_q(\omega) = \frac{8 \cdot \omega^4}{\pi^2} \cdot S_f(\omega) \cdot \left(1 + \cos \frac{\omega \cdot l}{v}\right);$$

$$S_u(\omega) = \frac{S_q(\omega)}{(\omega_0^2 - \omega^2)^2 + 4 \cdot n^2 \cdot \omega^2}; S_{\sigma}\left(\omega, z = \frac{1}{2} \cdot l\right) = \frac{\pi^4}{l^4} \cdot \left(\frac{EI_x}{\omega}\right)^2 \cdot S_u(\omega).$$

Спектральная плотность сглаживаемого профиля дороги задаётся как

$$S_y(\vartheta) = \frac{2 \cdot s_y^2}{\pi \cdot (1 + b^2 \cdot \vartheta^2)} \cdot \frac{\alpha \cdot \beta^2}{(\vartheta^2 - \beta^2)^2 + 4 \cdot \alpha^2 \cdot \vartheta^2}, \quad \vartheta \in [0, \infty)$$

где параметры имеют следующие диапазоны значений: $\alpha = 0,1 \dots 0,2 \text{ m}^{-1}$, $\beta = 0,025 \dots 0,140 \text{ m}^{-1}$, $s_y = 0,10 \dots 0,20 \text{ m}$.

Для примера расчёта была выбрана труба длиной $l = 30 \text{ м}$, внешним диаметром $d = 200 \text{ мм}$ и толщиной стенки $\delta = 2 \text{ мм}$. Длина опорной тележки $b = 1 \text{ м}$. Частота по первой форме колебаний $\omega_0 = 2 \text{ c}^{-1}$. Параметры кривой усталости: $m = 4$, $N_0 = 2 \cdot 10^6$ циклов, $\sigma_{-1} = 40 \text{ MPa}$. Скорость движения $v_t = 50 \text{ км/ч}$, время в пути 5 часов. Параметры спектральной плотности дороги $s_y = 0,1 \text{ м}$, $\alpha = 0,15 \text{ m}^{-1}$, $\beta = 0,1 \text{ m}^{-1}$.

Предельно допустимое перемещение в середине трубы $v_* = 0,2 \text{ м}$, а предельно допустимое напряжение $\sigma_* = 200 \text{ MPa}$.

Результаты расчёта:

- риск транспортировки $R = 0,016$,
- накопленное усталостное повреждение $\varphi = 0,2$.

Было принято решение о возможности и целесообразности транспортировки объекта.

Литература

1. Болотин В.В. Случайные колебания упругих систем. М.: Наука, 1979. 336 с.
2. Гусев А.С. Расчёт конструкций при случайных воздействиях / А.С. Гусев, В.А. Светлицкий. - М.: Машиностроение, 1984. – 240 с.
3. Гусев А.С. Вероятностные методы в механике машин и конструкций / А.С. Гусев. - М.: МГТУ им. Н.Э. Баумана, 2009. – 224 с.
4. Щербаков В.И., Чабунин И.С., Стародубцева С.А. Избранные задачи по динамике механических систем и конструкций. Изд. 2-е, испр. и доп. М.: МГТУ «МАМИ», 2010. – 288 с.
5. Щербаков В.И., Надеждин В.С. Колебания колесной машины при движении по неровной дороге. М.: Изд. МГТУ «МАМИ», 2011. – 40 с.
6. Гусев А.С., Карунин А.Л., Крамской Н.А., Стародубцева С.А., Щербаков В.И. Теория колебаний в автомобиле- и тракторостроении. М.: Изд. МГТУ «МАМИ», 2007. – 336 с.